

طراحی، شبیه سازی و ساخت آنتن مونوپل مربعی فوق باند وسیع دارای تغذیه سه گانه و دو باند حذف فرکانسی

سلماسادات میرهادی^۱، محمد سلیمانی^۲ و علی عبدالعالی^۳

^۱دانشگاه علم و صنعت ایران ، s_mirhadi@iust.ac.ir

^۲دانشگاه علم و صنعت ایران ، soleimani@iust.ac.ir

^۳دانشگاه علم و صنعت ایران ، abdolali@iust.ac.ir

چکیده - در این مقاله، یک آنتن مونوپل مربعی فوق باند حذف فرکانسی در باندهای $WLAN$ و $WiMAX$ طراحی و شبیه سازی و ساخته شده است. تغذیه سه گانه توزیع جریان یکنواخت‌تری را نسبت به تغذیه ساده برای آنتن فراهم کرده و باعث افزایش پهنای باند آنتن می‌شود. در نتایج اندازه‌گیری پهنای باند امپدانسی بیشتر از 140% ($2.4-15.45\text{ GHz}$) به دست آمده است. برای ایجاد دو باند حذف فرکانسی از شکافهای U شکل استفاده شده است که در هر کدام از باندهای حذف محل سه تغذیه آنتن به صورت امپدانس بالا یا کم تبدیل می‌شود و عدم تطبیق امپدانس را فراهم می‌کند. کلید واژه- آنتن فوق باند وسیع، باند حذف فرکانسی، تغذیه سه گانه، مونوپل مربعی.

منظور حذف باندهای فرکانسی $WLAN$ (5.15-5.85 GHz) و $WiMAX$ (3.3-3.7 GHz)

۱- مقدمه

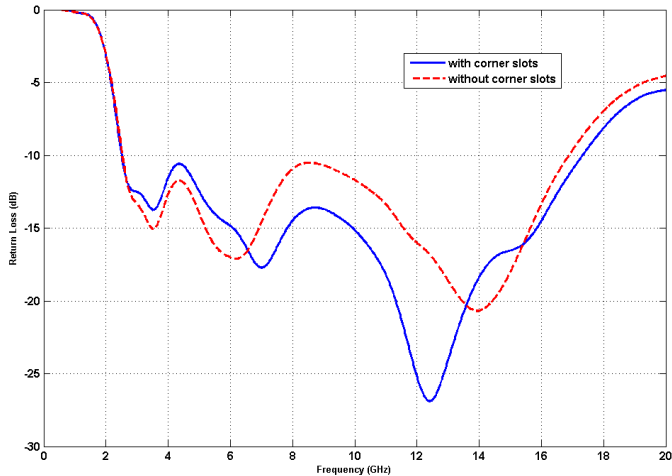
آنتن مونوپل مربعی به دلیل سادگی ساخت و پایداری پترن تشعشعی در پهنای باند بسیار مورد توجه قرار گرفته است. این آنتن با تغذیه ساده و تک پهنای باند چندانی را فراهم نمی‌کند از اینرو تکنیک‌های مختلفی برای افزایش پهنای باند برای این نوع آنتن ارائه شده است که می‌توان به مواردی همچون ایجاد اتصال کوتاه با صفحه زمین در یک طرف آنتن [1]، برش لبه‌های پائینی آنتن [2]، بارگذاری صفحات کوچک به صورت عمود در لبه‌های کناری آنتن [4] و استفاده از تغذیه چندگانه برای آنتن [5، 6] اشاره نمود. از میان این روش‌ها استفاده از تغذیه چندگانه و ایجاد برش در لبه‌های پائینی سادگی ساخت را به همراه دارد. تغذیه سه گانه نیز نسبت به تغذیه دوگانه پهنای باند بهتری را برای آنتن فراهم می‌کند. اساس این تکنیک بر این پایه است که تغذیه سه گانه منجر به توزیع جریان یکنواخت‌تری نسبت به تغذیه دو گانه و تغذیه ساده می‌شود و جریان‌های افقی را که تشعشعی نیستند کاهش می‌دهد. اما از طرفی طراحی شکاف برای ایجاد باند حذف در آنتن با تغذیه سه گانه بسیار مشکل تر از طراحی تغذیه ساده است. زیرا آنتن از سه محل تغذیه شده و می‌بایست شکاف طراحی شده هر سه محل را به گونه‌ای تحت تاثیر قرار دهد. هدف این مقاله هم بررسی طراحی شکاف به

۲- طراحی آنتن

ساختار آنتن مورد مطالعه در شکل ۱ نشان داده شده است. این آنتن یک آنتن مونوپل مربعی به طول $L=20\text{ mm}$ است که به صورت سه گانه از سه محل A، B و C تغذیه شده است. طول نوارهای تغذیه برابر مقدار ثابت 1.6 mm در نظر گرفته شده است. در ساخت این آنتن از ورق برنج با ضخامت 0.2 mm^2 استفاده شده است. صفحه زمین نیز از جنس برنج و با ابعاد $80\times 80\text{ mm}^2$ در نظر گرفته شده است. تفاوت ساختار معرفی شده در شکل ۱ با ساختار معرفی شده در مرجع [6] این است که ما در این ساختار گوشش‌های لبه‌های پائینی آنتن را حذف کردیم. علت این حذف در شکل ۲ با استفاده از توزیع جریان در فرکانس $GHz 6$ بر روی آنتن نشان داده است.

جدول ۱: پارامترهای بهینه شدهی آنتن شکل ۱

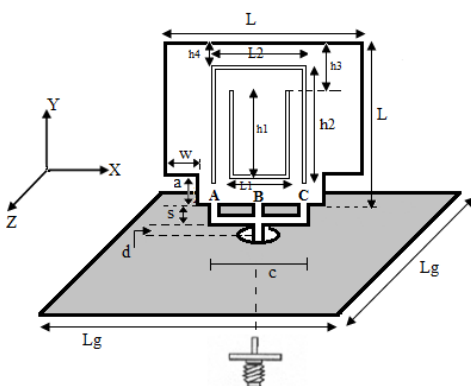
پارامتر	مقدار (mm)
L	۲۰
c	۱۰
d	۱
s	۲.۸
a	۲
w	۲



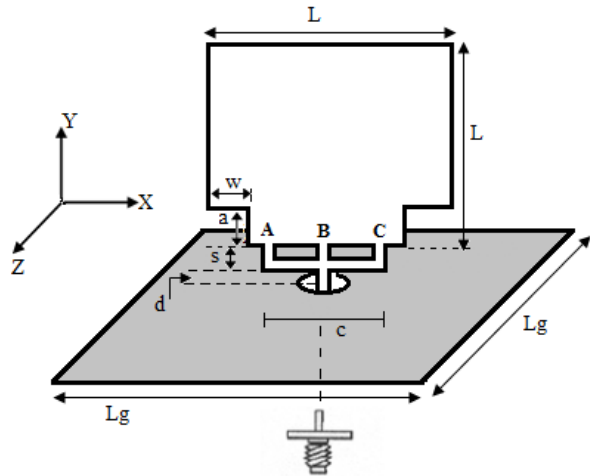
شکل ۳: نتیجه شبیه‌سازی آنتن شکل ۱ با و بدون حذف گوشه‌های پائین

۳- طراحی شکاف روی آنتن

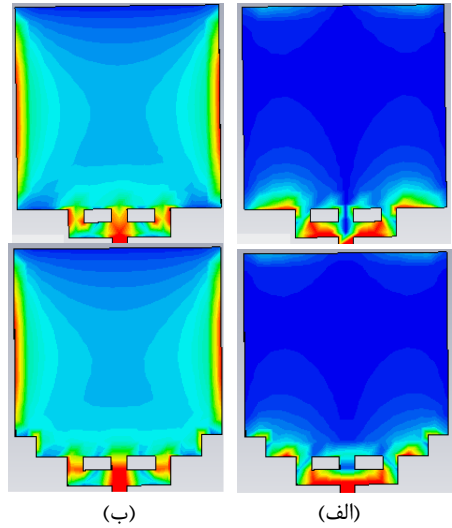
بر روی آنتن طراحی شده در بخش قبل قبل برای حذف دو باند فرکانسی WLAN و WiMAX دو شکاف به صورت شکل ۴ ایجاد شده است. برای ایجاد باند حذف در باند فرکانسی WLAN (5.15-5.85 GHz) از شکافی به شکل U استفاده شده است. طول کلی این شکاف برابر $L_2 + 2h_2 = 41\text{ mm}$ در نظر گرفته شده است. برای ایجاد باند حذف در WiMAX (3.3-3.7 GHz) از شکاف L استفاده شده است که طول کلی آن $L_1 + 2h_1 = 29.5\text{ mm}$ است. ضخامت هر دو شکاف ۰.۵ mm است. ابعاد بهینه شده شکافها در جدول ۲ آورده شده است. مابقی ابعاد آنتن بدون تغییر است.



شکل ۴: ساختار آنتن به همراه شکافهای ایجاد شده برای حذف دو باند فرکانسی

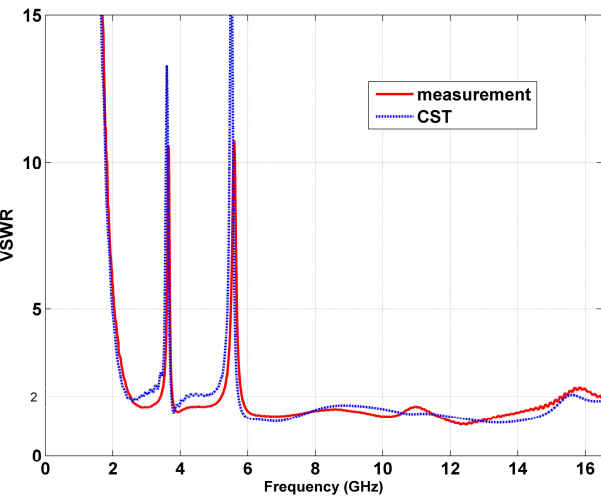


شکل ۱: ساختار معرفی شده آنتن مونوپل مربعی با تغذیه سه کانه و حذف گوشه‌های کناری



شکل ۲: مقایسه دامنه توزیع جریان (الف) افقی J_x و (ب) عمودی J_y بر روی آنتن دارای تغذیه سه گانه معمولی و آنتن با حذف گوشه‌های پائینی

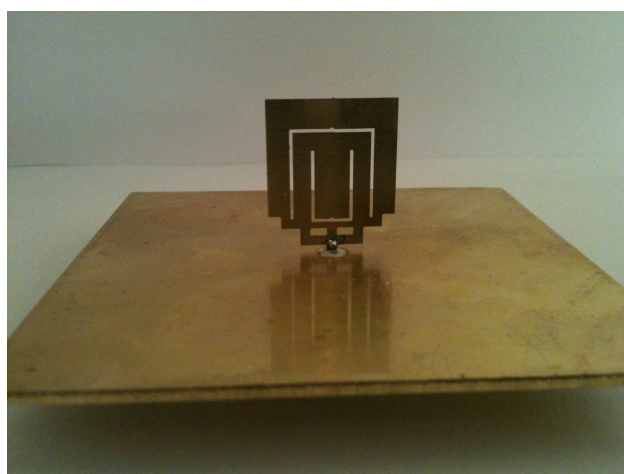
همانگونه که از شکل ۲ مشخص است در گوشه‌های لبه‌ی پائینی جریان‌های افقی شدیدی وجود دارد که نقشی در تشعشع ندارند. با ایجاد برش در این لبه‌ها می‌توان این جریان‌ها را تا حدی کاهش داد که منجر به ایجاد تطبیق امپدانس بهتری برای آنتن می‌شود. ابعاد بهینه شده برای آنتن در جدول ۱ آورده شده است. آنتن شکل ۱ با و بدون حذف گوشه‌های لبه‌ی پائینی با استفاده از نرم‌افزار CST Microwave Studio شبیه‌سازی شده است که در شکل ۳ نشان داده است. همانگونه که از شکل مشخص است با حذف گوشه‌ی لبه‌ی پائینی تلفات بازگشتی بهتری برای آنتن به دست می‌آید.



شکل ۷: مقایسه نتیجه اندازه‌گیری و شبیه‌سازی آنتن شکل ۴

در شکل ۷ منحنی VSWR آنتن ساخته شده با نتیجه شبیه‌سازی مقایسه شده است که از تطابق بسیار خوبی برخوردار است. پنهانی باند آنتن از فرکانس 2.4 GHz تا 15.45 GHz هستند. پنهانی باند UWB را تحت پوشش قرار می‌دهد. باند حذف اول از فرکانس 3.35 GHz تا 3.7 GHz است و باند حذف دوم از فرکانس 5.2 GHz تا 5.82 GHz است. نمونه ساخته شدهی آنتن نیز در شکل ۸ نشان داده شده است.

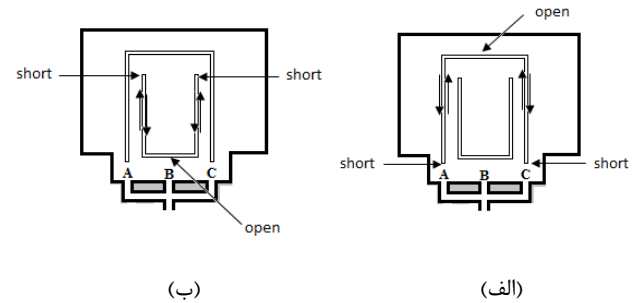
پترن تشععشی اندازه‌گیری شدهی آنتن در صفحات x-y و x-z در فرکانس‌های 3 GHz و 4.6 GHz و 6.5 GHz در شکل ۹ الى ۱۱ نشان داده شده است. همانگونه که مشاهده می‌شود پترن آنتن وابسته به فرکانس است.



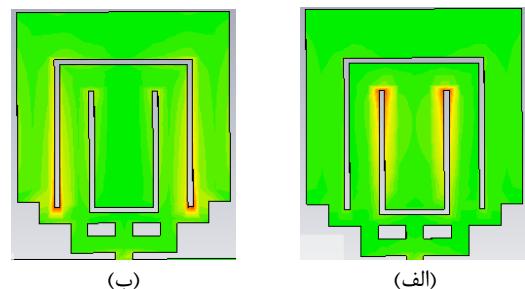
شکل ۸: نمونه ساخته شدهی آنتن شکل ۴

پارامتر	مقدار (mm)
L_1	6.5
L_2	13
h_1	11.5
h_2	14
h_3	7.5
h_4	4.5

به منظور بررسی چگونگی ایجاد باند حذف توسط شکافهای طراحی شده توزیع جریان بر روی آنها را که در شکل ۵ نشان داده شده در نظر می‌گیریم. در فرکانس‌های حذف جریان در قسمت انتهایی شکافها متتمرکز شده است. همچنین قسمت داخلی شکاف دارای جریان خلاف جهت نسبت به قسمت خارجی است. این امر سبب می‌شود آنتن در حالت خط انتقال عمل کند. بدین معنی که از آنجایی که طول شکافها تقریباً برابر نصف طول موج فرکانس مرکزی باندهای حذف است قسمت انتهایی شکاف که به صورت اتصال کوتاه است به صورت اتصال باز در وسط خط در می‌آید. این امر سبب می‌شود که در شکاف Π شکل خط تغذیه در نقاط A و C امپدانس خیلی کم (تقریباً صفر) ببیند و عدم تطبیق ایجاد شود. در شکاف L شکل نیز خط تغذیه در محل B امپدانس خیلی زیاد دیده و عدم تطبیق در باند فرکانسی مورد نظر را ایجاد می‌نماید. نتیجه شبیه‌سازی تمام موج برای توزیع جریان باندهای حذف نیز در شکل ۶ نشان داده شده است.

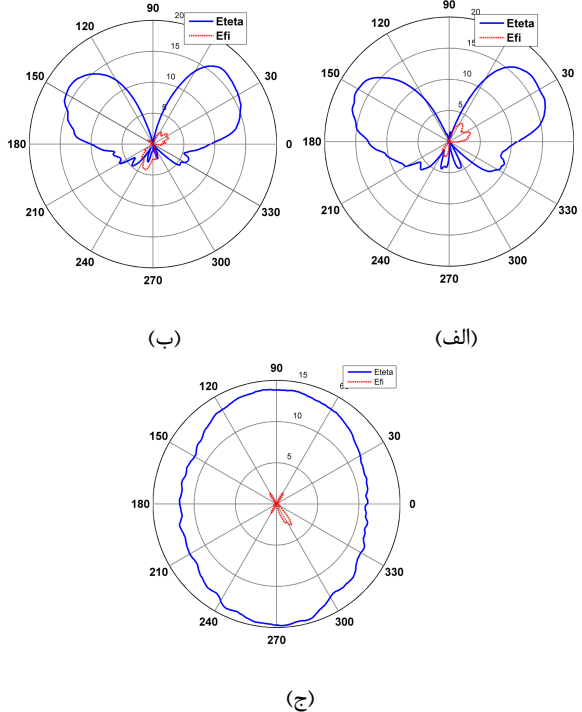


شکل ۵: نحوه توزیع جریان شکافها در (الف) باند حذف WLAN و (ب) باند WiMAX

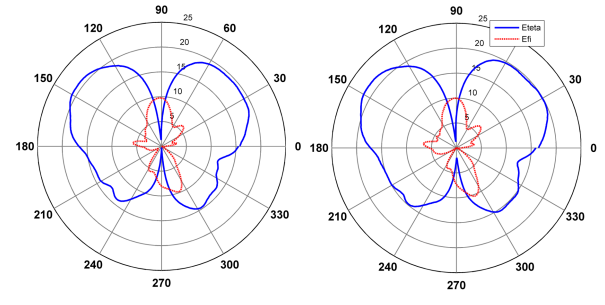


شکل ۶: دامنه توزیع جریان بر روی آنتن (الف) در باند حذف WLAN و در فرکانس 3.5 GHz، (ب) در باند حذف WiMAX در فرکانس 5.5 GHz

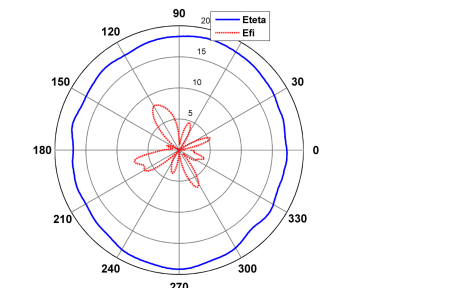
حذف باندهای WLAN و WiMAX به گونه‌ای طراحی شد که محل تغذیه‌ی آنتن تحت تاثیر قرار گرفته و عدم تطبیق ایجاد شود.



شکل ۱۱: پترن تشعشعی آنتن در فرکانس 6.5 GHz (الف) x-y (ب) y-z (ج) x-z



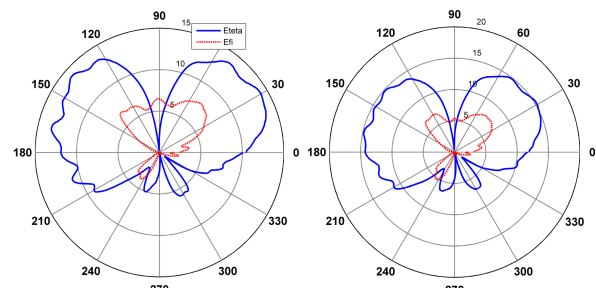
(ب)



(الف)

(ج)

شکل ۹: پترن تشعشعی آنتن در فرکانس 3 GHz (الف) (ب) (ج) x-z (ب) y-z (ج) x-y

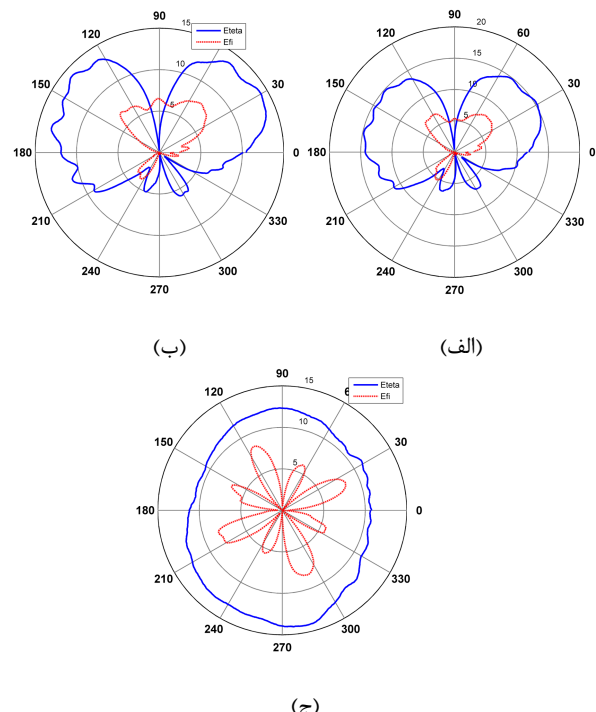


سپاسگزاری

نویسنده‌گان از پژوهشگاه ارتباطات و فناوری اطلاعات به منظور حمایت مالی قدرانی می‌نمایند.

مراجع

- [1] M. J. Ammann and Z. N. Chen, "A Wide-Band Shorted Planar Monopole With Bevel," *IEEE Transactions on Antennas and Propagation*, vol. 51, no. 4, April 2003, pp. 901-903.
- [2] M. J. Ammann, "Control of the Impedance bandwidth of wideband planar antenna using a beveling technique," *Microwave and Optical Technology Letters*, Vol. 30, No. 4, Agust 2001, pp.229-232.
- [3] S. W. Su, K. L. Wong, and C. L. Tang, "Ultra wideband square planar monopole antenna for IEEE 802.16a operation in the 2-11 GHz band," *Microwave and Optical Technology Letters*, Vol. 42, No. 6, September 2004, pp.463-466.
- [4] S. M. Mazinani and H. R. Hassani, "A Novel Broadband Plate-Loaded Planar Monopole Antenna," *IEEE Antennas and Wireless Propagation Letters*, vol. 8, 2009, pp. 1123-1126.
- [5] E. A. Daviu, M. C. Fabres, M. F. Bataller, and A.V. Nogueira, "Wideband double-fed planar monopole antennas," *Electron. Lett.*, vol. 39, pp. 1635-1636, Nov. 2003.
- [6] K. L. Wong, C. H. Wu, and S. W. Su, "Ultrawide-Band Square Planar Metal-Plate Monopole Antenna With a Trident-Shaped Feeding Strip," *IEEE Trans. Antennas Propagat.*, vol. 53, no. 4, pp.1262-1269, Apr. 2005.



شکل ۱۰: پترن تشعشعی آنتن در فرکانس 4.6 GHz (الف) (ب) (ج) x-z (ب) y-z (ج) x-y

۴- نتیجه‌گیری

در این مقاله یک آنتن مونوپل مربعی با تغذیه سه گانه مورد مطالعه قرار گرفت. ابتدا با استفاده از حذف گوشش‌های پائینی آنتن نتیجه‌ی بهتری برای منحنی تلفات بازگشتی به دست آمد. سپس برای این آنتن دو شکاف فرکانسی U شکل به منظور